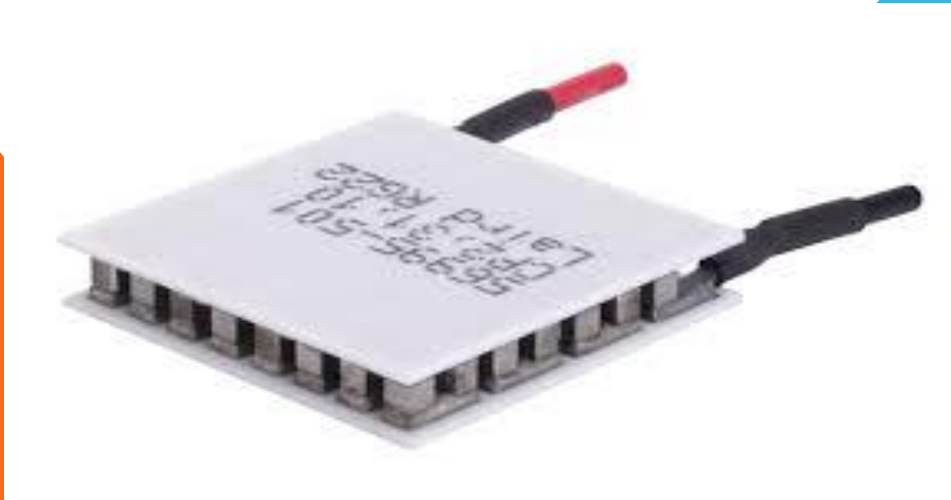
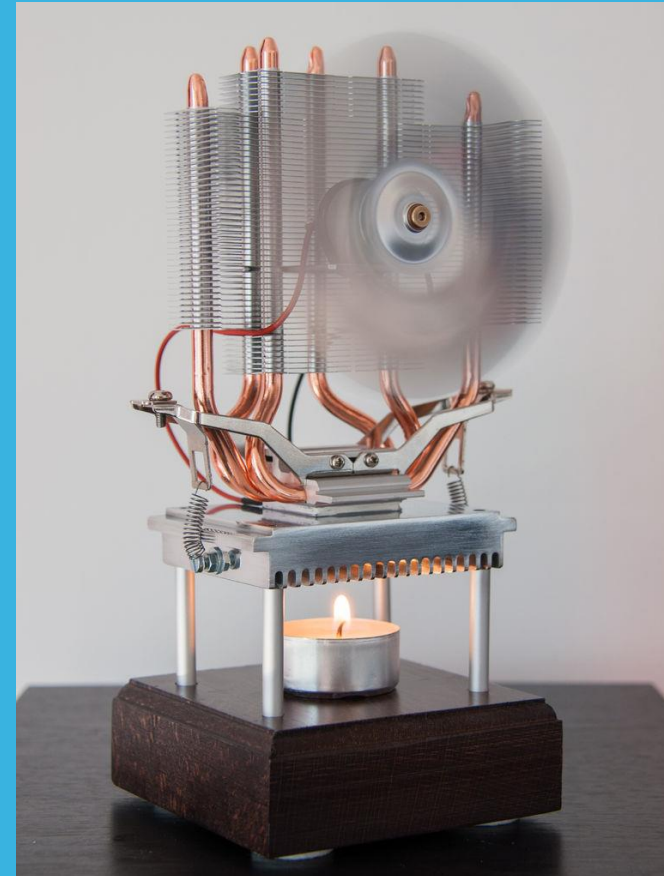


Etude et modélisation d'un générateur thermoélectrique solaire:



Proposé par: Mahdi
Kallel



Problématique: Les effets thermoélectriques présentent ils une alternative pour la conversion de l'énergie solaire?

* 1.Introduction aux effets thermoélectriques:

- * A)Les effets thermoélectriques.
- * B)Mise en évidence.

* 2. Le générateur thermoélectrique (G.T.E):

- * A)Fonctionnement
- * B)Evaluation des performances.
- * C)Facteur de mérite

* 3.Modélisation du G.T.E solaire:

- * A)Dispositif
- * B)Modélisation
- * C)Conclusions

Effet Seebeck :

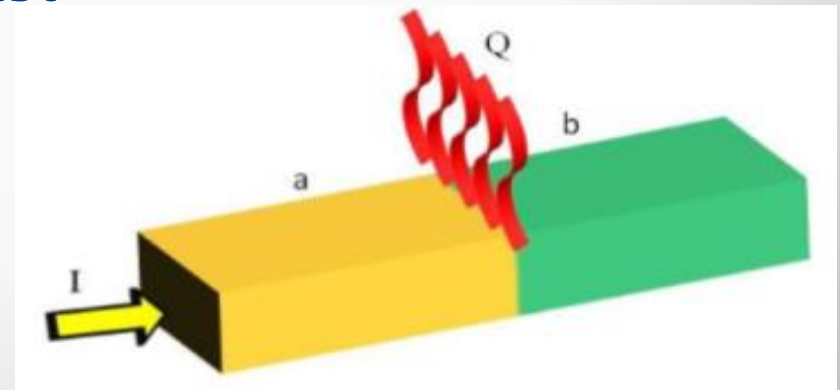
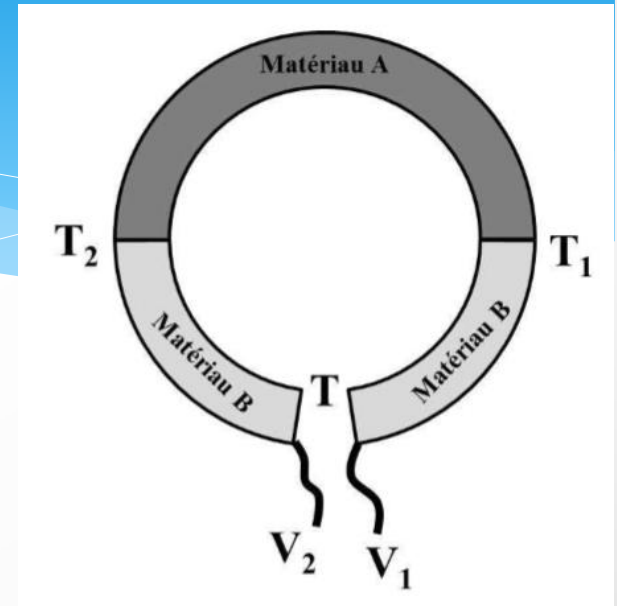
Un gradient de température donne naissance à une différence de potentiel :

$$\alpha_{ab} = \alpha_b - \alpha_a = \frac{V_2 - V_1}{T_2 - T_1}$$

Effet Thomson :

Le passage d'un courant électrique entre la jonction séparant deux matériaux est source d'un flux de thermique:

$$Q = (\pi_a - \pi_b) I$$



Effet Thomson:

Le passage d'un courant électrique dans un même matériau est source de dégagements thermiques qui se superposent à l'effet Joule :

$$Q = J\tau \nabla T$$

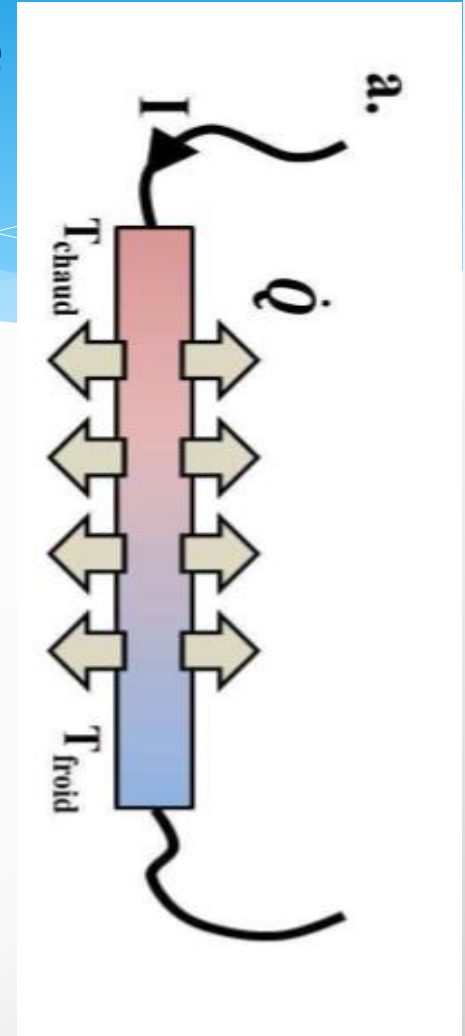
Relations de Kelvin:

$$\tau = T \frac{d\alpha}{dx} \quad \pi = \alpha T$$

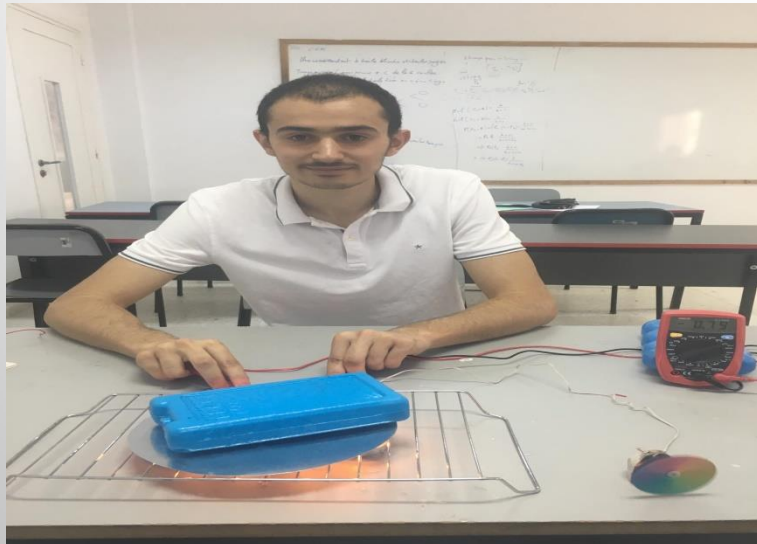
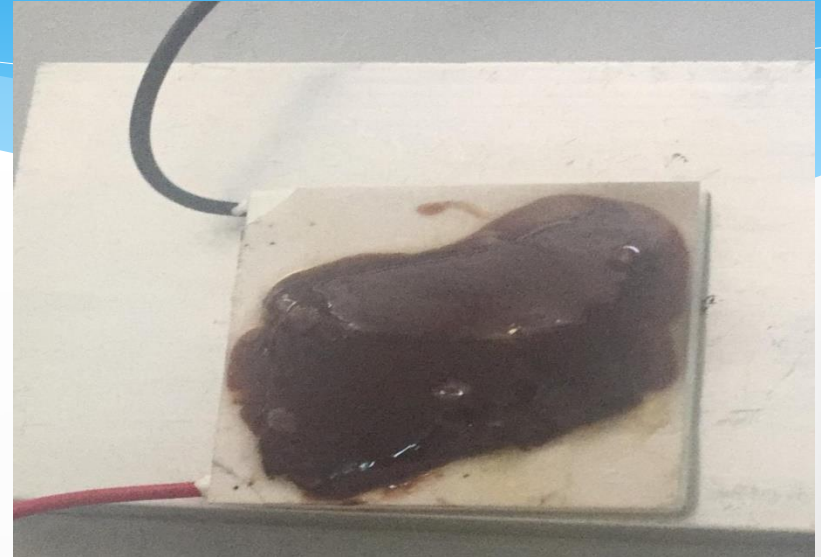
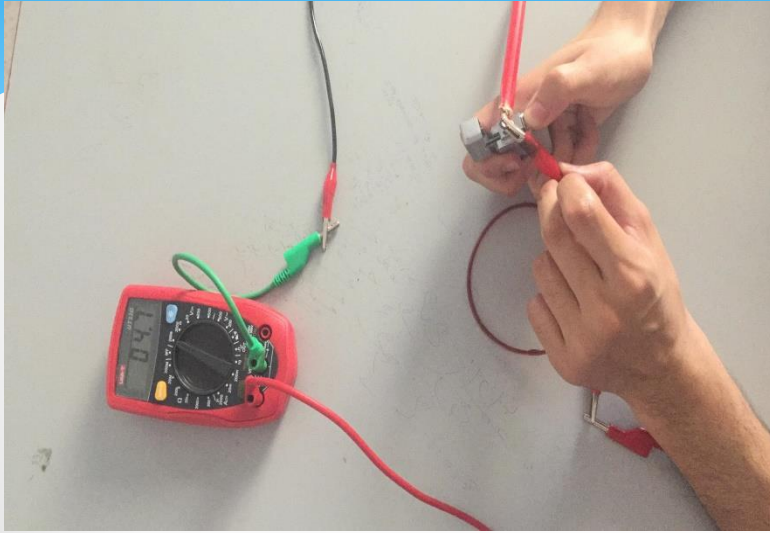
Equations générales:

Densité de courant $J = -\sigma(\nabla V + \alpha \nabla T)$

Densité de flux thermique (J_{th}): $Q = JT\alpha - k\nabla T$



Experiences:



Le générateur thermoélectrique :

Electriquement
en série:

$$R = R_n + R_p = \frac{\rho_n}{S_n} + \frac{\rho_p}{S_p}$$

Thermiquement
en parallèle:

$$K = K_n + K_p = \frac{k_n S_n + k_p S_p}{l}$$

Dopage inhomogène pour pouvoir cumuler les courants créés.

$$Q_c = \alpha_t I T_c + K (T_c - T_f) - \frac{R_{int} I^2}{2}$$

Avec $\alpha_t = \alpha_p - \alpha_n$

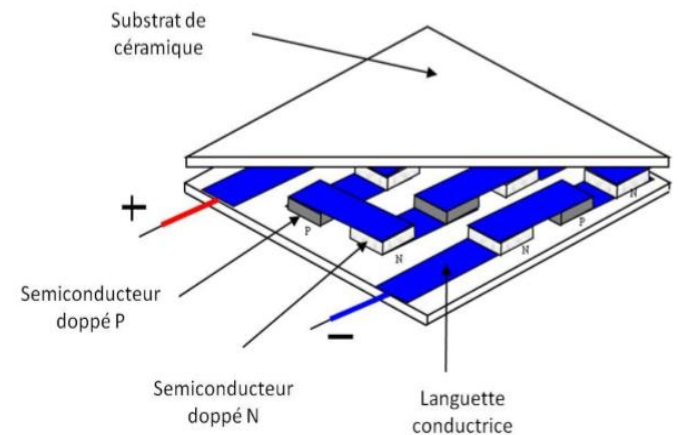
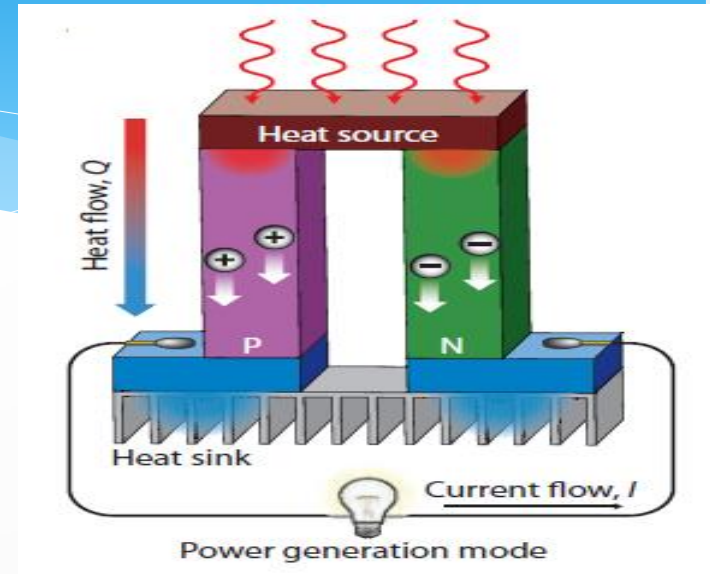


Figure 7 Schéma d'un module thermoélectrique

Optimisation de puissance

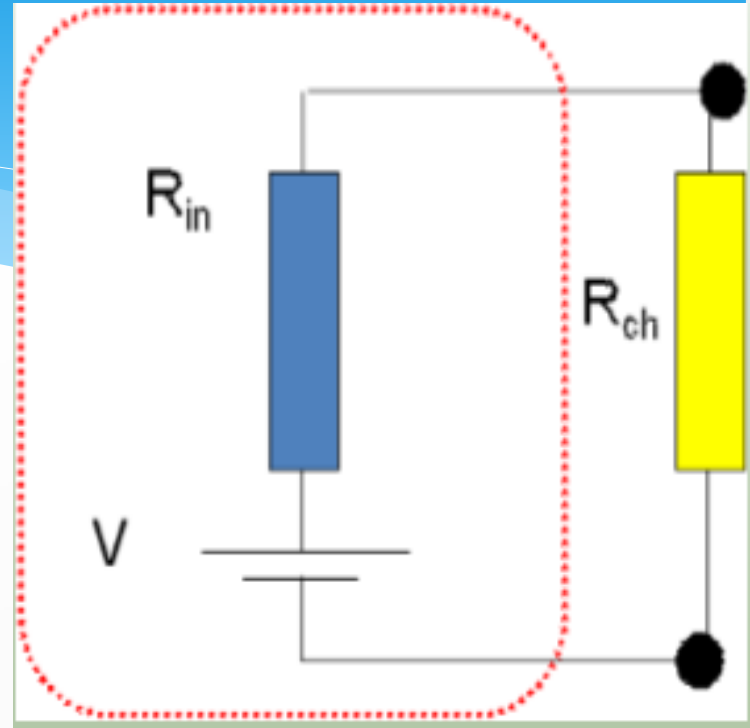
$$\text{FEM: } V = \alpha (T_c - T_f)$$

$$I = \frac{V}{R_T} = \frac{V}{R_{int} + R_{ch}}$$

$$\text{On pose } m = \frac{R_{ch}}{R_{int}} \rightarrow I = \frac{V}{R_{int}} \frac{1}{m+1}$$

$$P = R_{ch} * I^2 = \frac{V^2}{R_{int}} \frac{m}{(m+1)^2}$$

$$\frac{dP}{dm} = 0 \Rightarrow m = 1 \Rightarrow R_{int} = R_{ch}$$



$$P_{max} = \frac{\alpha^2 (T_c - T_f)^2}{4R}$$

Maximisation du rendement:

$$\eta = \frac{P}{Q_{recu}}$$

- $Q_c = \alpha_t I T_c + K(T_c - T_f) - \frac{R_{int} I^2}{2}$
- $I = \frac{V}{R_{int}} \frac{1}{m+1}$

$$\eta = \frac{R_{ch} I^2}{K(T_c - T_f) + I \alpha T_c - \frac{R_{int} I^2}{2}}$$

$$\eta = \eta_c \frac{\frac{m}{m+1}}{1 + \frac{K_0 R}{\alpha^2} \frac{m+1}{T_{chaud}} - \frac{1}{2} \frac{\Delta T}{T_{chaud}} \frac{1}{m+1}}$$

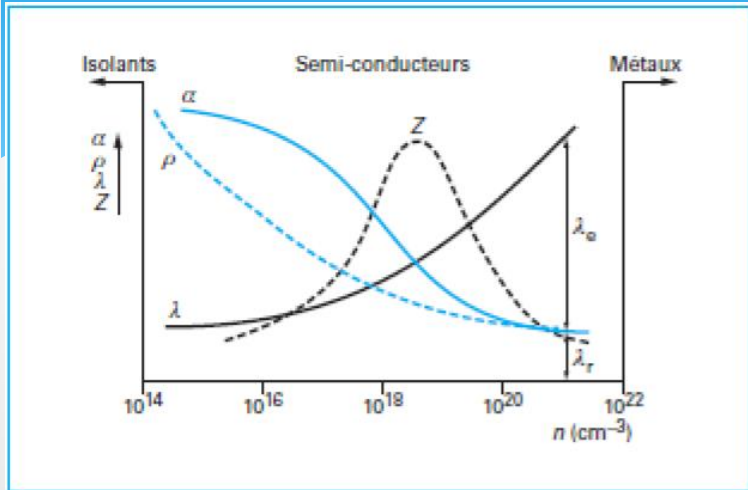
- $\frac{d\eta}{dm} = 0 \Rightarrow m_{opt} = \sqrt{1 + \overline{ZT}}$

$$Z = \frac{(\alpha_p - \alpha_n)^2}{RK}$$

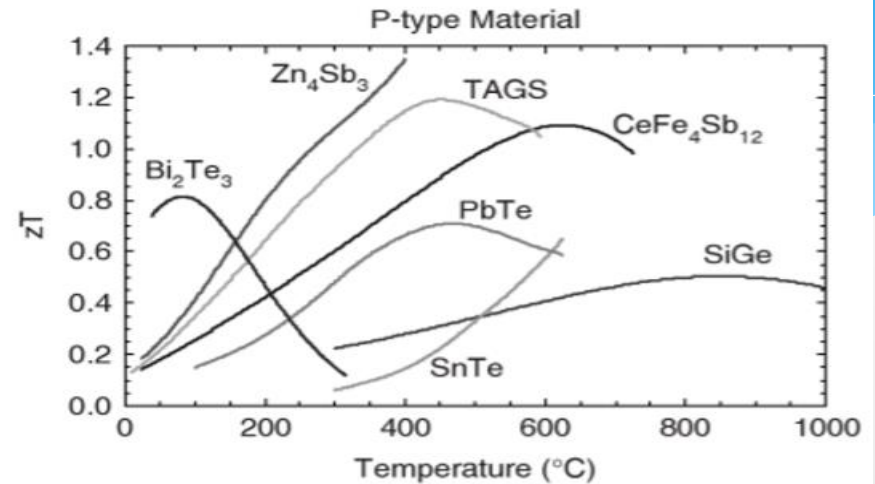
$$\eta_{max} = \eta_c * \frac{\sqrt{1 + \overline{ZT}} - 1}{\sqrt{1 + \overline{ZT}} + \frac{T_f}{T_c}}$$

Opt. Puissance
≠ Opt. Rendement

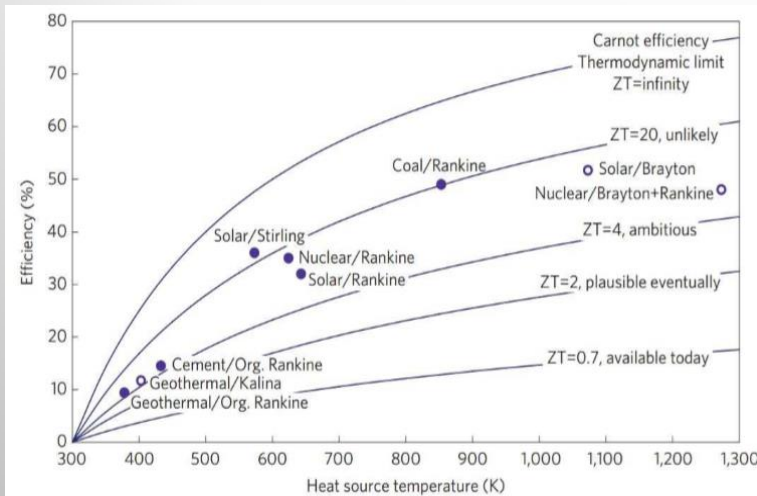
Facteur de mérite : ZT



Évolution des propriétés des matériaux suivant la concentration des porteurs de charge.



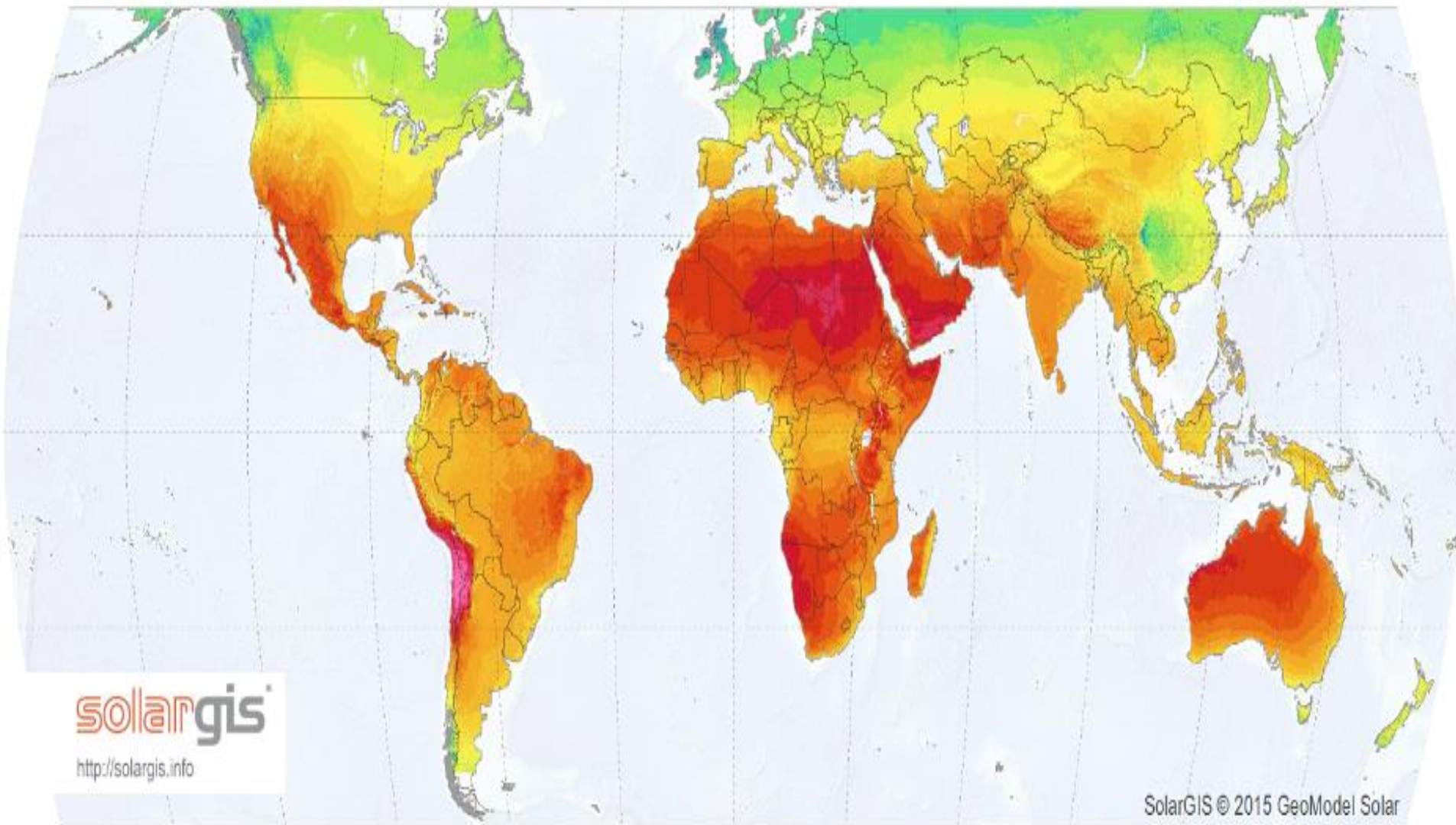
Évolution du facteur de mérite en fonction de la température.



Évolution de l'efficacité du G.T.E en fonction de la température le réservoir froid étant à 300K

GLOBAL HORIZONTAL IRRADIATION

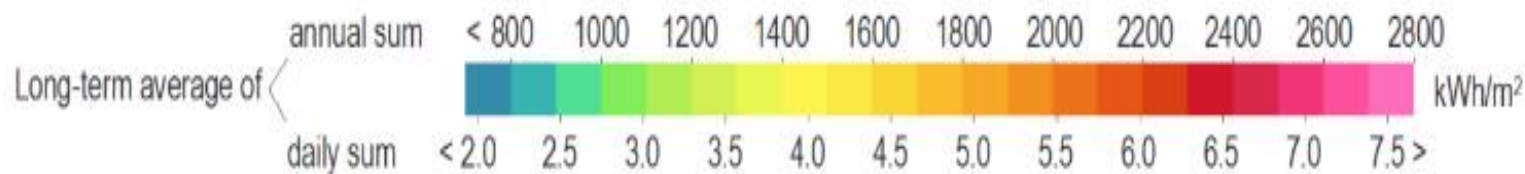
GeoModel
SOLAR



solarGIS

<http://solargis.info>

SolarGIS © 2015 GeoModel Solar



G.T.E solaire

Equilibre thermique de l'absorbeur:

$$AG\tau\alpha = q(x = L) + A\epsilon\sigma(T^4(x = l) - T_{amb}^4)$$

Champ électrique : $E = \rho J + \alpha \nabla T$

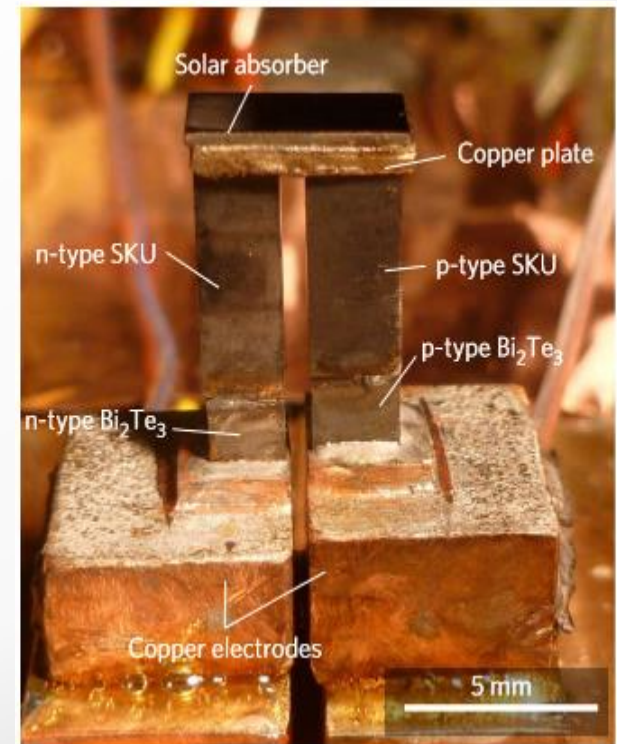
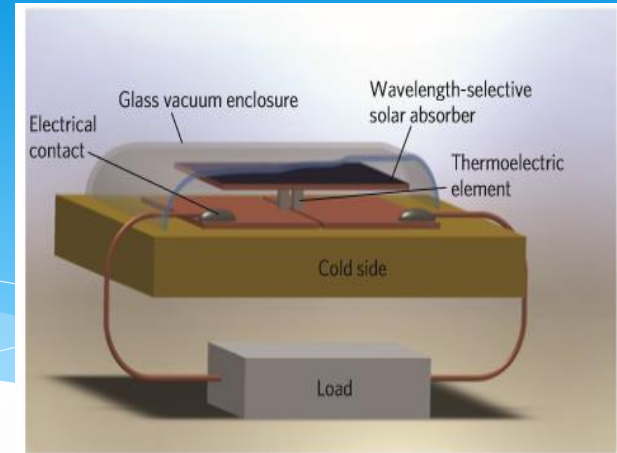
Densité de flux thermique (J_{th}): $Q = JT\alpha - k\nabla T$

$\nabla J=0$ Il n'y a pas de cumul de charge en régime permanent

Equilibre thermique d'un tronçon élémentaire:

$\nabla Q = J \cdot E$ = Puissance dissipée par élément de volume

$$\Rightarrow \nabla(k(x)\nabla T) = JT(x)\nabla\alpha - \rho(x)J^2$$



Equations différentielles couplées:

$$\frac{dT}{dx} = \frac{J(\alpha T)(x) - Q(x)}{k(x)}$$

$$\frac{dQ}{dx} = j^2 \rho(x) + \frac{J^2(\alpha^2 T)(x) - J(\alpha Q)(x)}{k(x)}$$

Schéma numérique:

$$\frac{T(i+1) - T(i)}{\Delta x} = \frac{J\alpha(Ti) * T(i) - Q(i)}{k(Ti)}$$

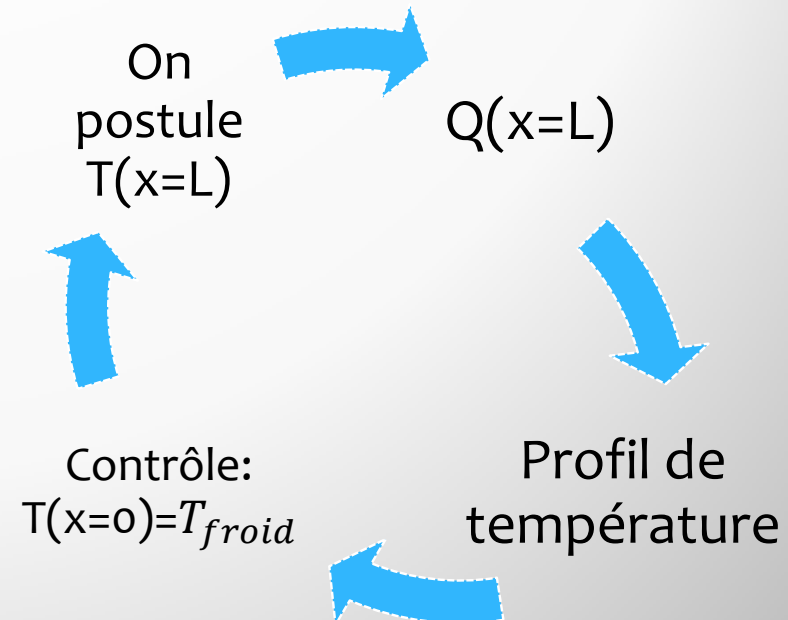
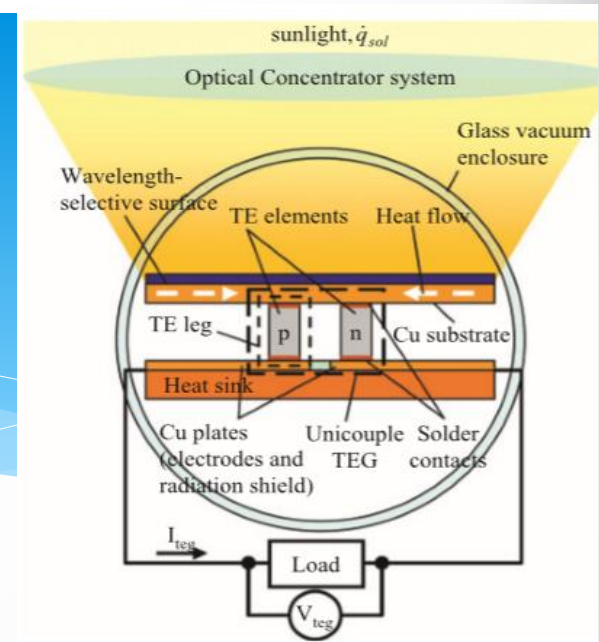
$$\frac{Q(i+1) - Q(i)}{\Delta x} = \frac{J\alpha^2(Ti) * T(i) - J\alpha(Ti) * Q(i)}{k(Ti)} + \rho(Ti) * J^2$$

Conditions aux limites:

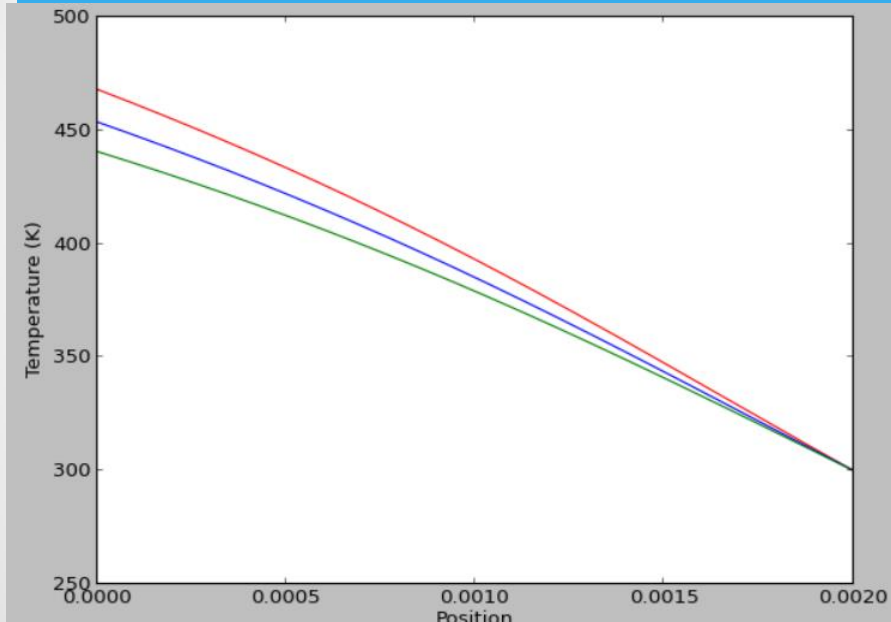
$$Q(x=L) = jTS(x=L) - k \left. \frac{dT}{dx} \right| (x=L)$$

$$\tau \alpha G = Q(x=L) - \epsilon \sigma (T^4(x=L) - T_{amb}^4)$$

$$T(x=0) = T_{froid} = 300K$$

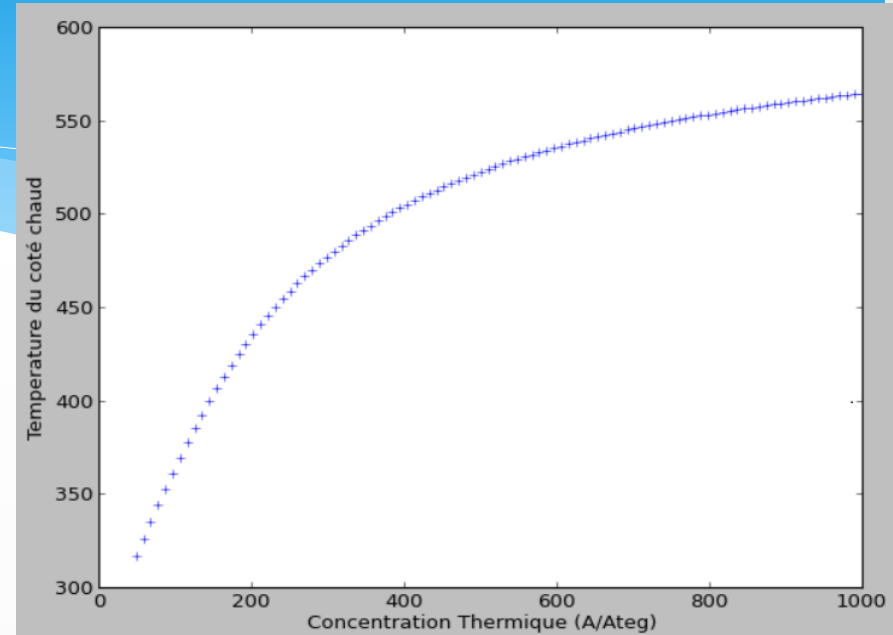


Simulations



Profil de température en fonction
du courant pour

$I=0.5$ / $I=1$ / $I=1.5$



Température du coté chaud en fonction
de la concentration thermique
($C_{th}=A/A_{teg}$)

Efficacité

Potentiel thermoélectrique:

$$\Phi = \alpha T - \frac{k \nabla T}{J}$$

$$E = \nabla \Phi$$

$$Q = J \Phi$$

$$P = J \nabla \Phi$$

$$\eta_{1+2,\text{series}} = \frac{W_1 + W_2}{U_1}$$

$$1 - \eta_{1+2,\text{series}} = (1 - \eta_1)(1 - \eta_2)$$

$$1 - \eta_{\text{series}} = \prod_i (1 - \eta_i)$$

$$\ln(1 - \eta_i) \approx -\eta_i$$

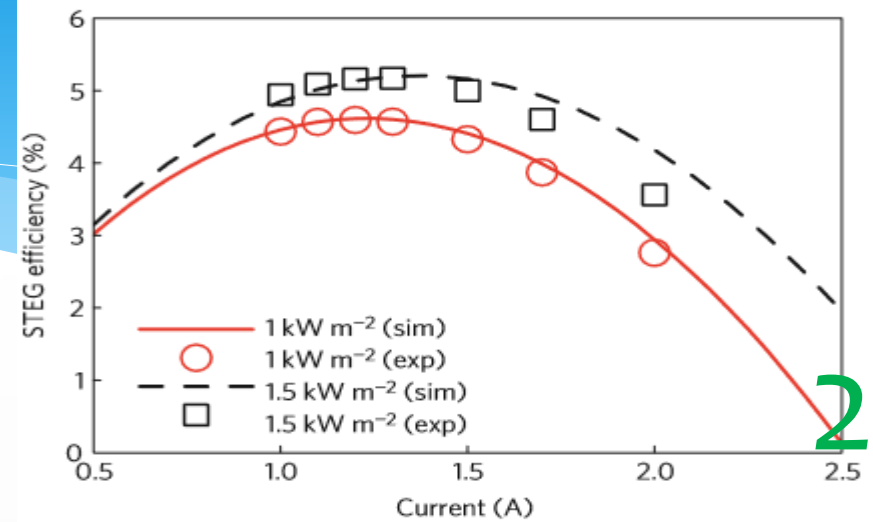
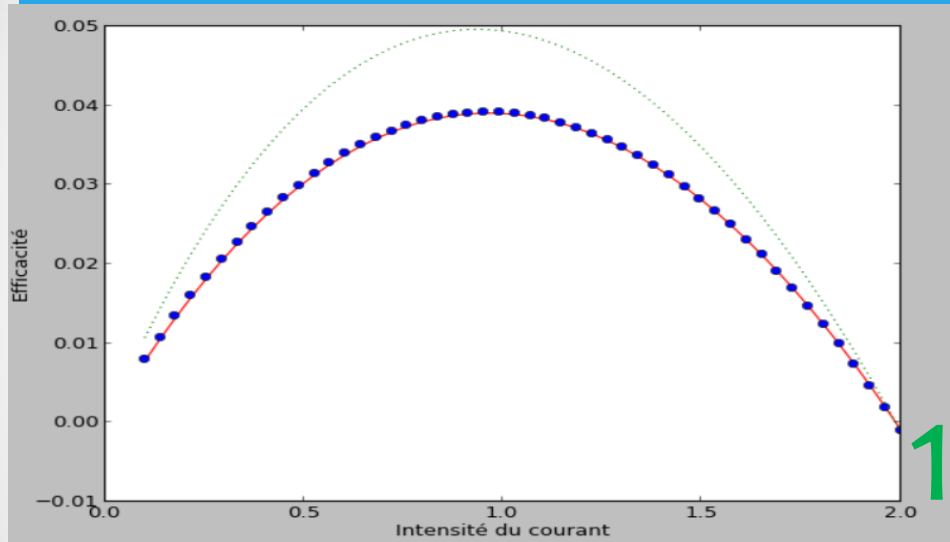
$$\ln(1 - \eta_{\text{series}}) = \sum_i \ln(1 - \eta_i) = - \sum_i \eta_i$$

$$\eta_{\text{series}} = 1 - \exp\left[- \int \eta_{\text{local}}\right]$$

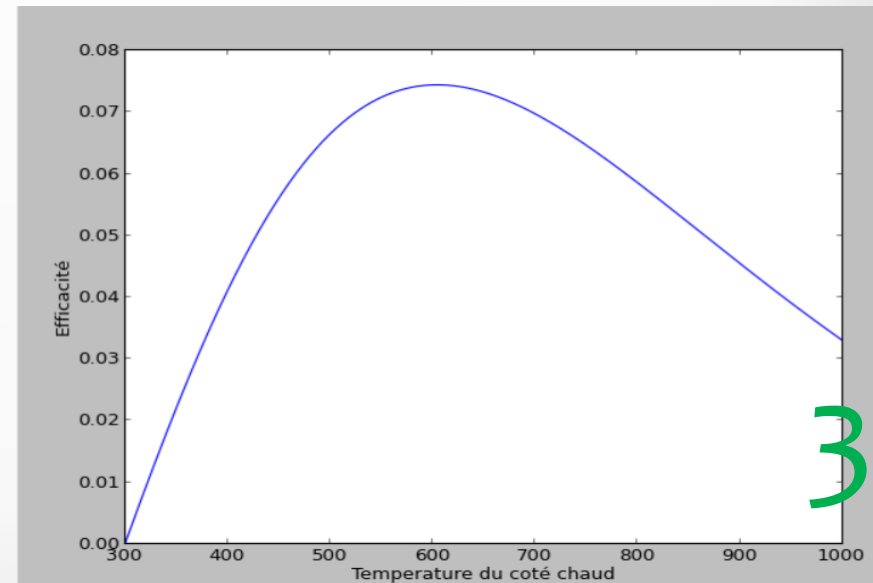
$$\int_{T_c}^{T_h} \frac{P}{Q} dx = \int_{T_c}^{T_h} \frac{\nabla \Phi}{\Phi} dx = \int_{T_c}^{T_h} \frac{d\Phi}{\Phi} = \int_{T_c}^{T_h} d\ln(\Phi) = (\ln \Phi)|_{T_c}^{T_h} = \ln\left(\frac{\Phi_h}{\Phi_c}\right)$$

$$\eta = 1 - \frac{\Phi_c}{\Phi_h} = \frac{\Delta \Phi}{\Phi_h}$$

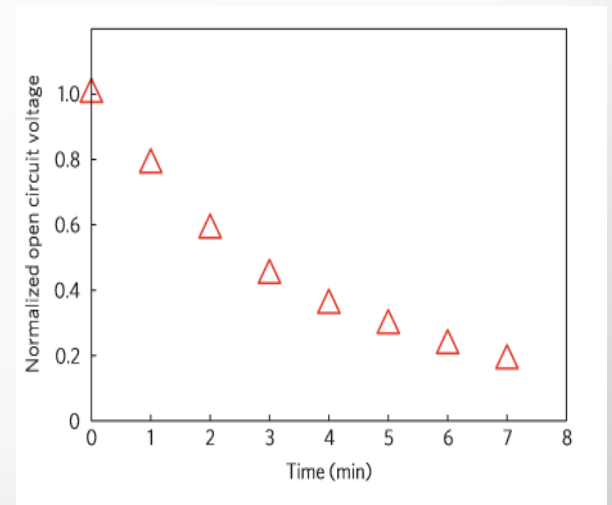
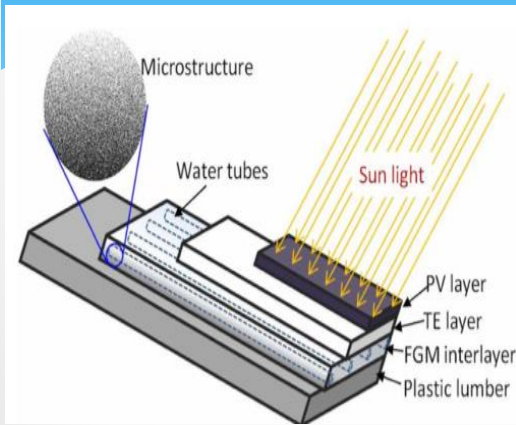
Conclusions :



$$\eta_{total} = \eta_{th} \eta_{GTE}$$



Applications:



Fin

Merci pour votre attention.

Vos questions
sont les
bienvenues

Annexe:

```
from pylab import*
import matplotlib.pyplot as plt

cond = lambda T : (62605-277.7*T+0.4131*T**2)*10**-4

res = lambda T : (5112+163.4*T+0.6279*T**2)*10**-10

see = lambda T : (22224+930.6*T-0.9905*T**2)*10**-9

thom = lambda T : (930.6-2*0.9905*T)*10**-9

emis = lambda T : 0.025+(2.9*(T-300))*10**-4

def Qte (T,flux,A):
    global Q
    Q=((0.95*0.94*flux)-(emis(T)*(5.67*10**-8)*(T**4-300**4)))*A
    return(Q)

def temperature(T0,flux,I,A,Ate,Longueur,division):
    global Pas
    Pas=Longueur/division
    global J
    J=I/Ate
    global T
    T=[T0]
    Qte (T0,flux,A)
    global q
    q=[Q/Ate]
    for r in range(1,division):
        Ti=T[-1]
        qi=q[-1]
        Tii=(J*see(Ti)*Ti-qi)*(Pas/cond(Ti))+Ti
        qii=((J*see(Ti)**2)*Ti/cond(Ti)-J*see(Ti)*qi/cond(Ti)+(J**2)*res(Ti))*Pas+qi
        T.append(Tii)
        q.append(qii)
    return(T[-1])
```

```

def profile (flux,I,A,Ate,Longueur,division,Tf) :

    Tmax=(flux/(0.03*(5.67*10**-8))+Tf**4)**0.25
    Tmin=Tf
    i=0
    temperature(Tmax,flux,I,A,Ate,Longueur,division)
    while abs(T[-1]-Tf)>0.001:
        i=i+1
        global Tmoy
        Tmoy=(Tmax+Tmin)/2
        temperature(Tmoy,flux,I,A,Ate,Longueur,division)
        if T[-1]>Tf:
            Tmax=Tmoy
        else :
            Tmin=Tmoy
    global X
    X=linspace(0,Longueur,division)
    return(Tmoy)

def Tchaud_Cth(flux,I,Ate,Longueur,division,Tf) :

    X=linspace(50,1000,100)
    Tc=[]
    for i in X:
        Tc.append(profile (flux,I,Ate*i,Ate,Longueur,division,Tf))
        print(i)
    plt.plot(X,Tc,'b+')
    plt.xlabel('Concentration Thermique (A/Ateg)')
    plt.ylabel('Temperature du coté chaud')
    plt.show()

```